

PRÉSENTATION DES GROUPES DE TRESSSES PURS ET DE CERTAINES DE LEURS EXTENSIONS

FRANÇOIS DIGNE

1. INTRODUCTION ET NOTATIONS

Dans cet article on étudie par des méthodes combinatoires la présentation du groupe de tresses purs associé à un groupe de Coxeter quelconque. On généralise à tous les types le dévissage du groupe de tresses pur en produits semi-directs successifs, (connu dans le cas du type A_n , cf. par exemple [[Bi], 1.8.2] ou [[H], appendice par Gædde]). On montre en particulier que pour le type B_n on a (comme pour A_n) une suite d'extensions de groupes libres.

Dans ce qui suit (W, S) est un système de Coxeter et B_W^+ (resp. B_W) est le monoïde de tresses (resp. le groupe de tresses) correspondant. Rappelons les définitions. Pour s et t dans S , notons $m_{s,t} \in N \cup \{\infty\}$ l'ordre de st dans W et soit \mathbf{S} un ensemble en bijection avec S , la bijection étant notée $\mathbf{s} \mapsto s$. Avec ces notations B_W^+ (resp. B_W) est le monoïde (resp. le groupe) engendré par \mathbf{S} avec comme seules relations $\underbrace{\mathbf{st} \dots}_{m_{s,t}} = \underbrace{\mathbf{ts} \dots}_{m_{s,t}}$, pour tout $\mathbf{s} \in \mathbf{S}$ et tout $\mathbf{t} \in \mathbf{S}$.

On a donc un morphisme canonique p de B_W dans W qui envoie \mathbf{s} sur s . On note P_W le noyau de p (groupe de tresses pur). On a aussi un homomorphisme canonique $j : B_W^+ \rightarrow B_W$ (dont on ne sait pas en général s'il est injectif). La surjection $p \circ j$ a une section canonique obtenue en relevant les écritures réduites des éléments de W (c'est indépendant de l'écriture réduite). On désigne par \mathbf{w} le relevé dans B_W^+ de $w \in W$ par cette section, ainsi que son image dans B_W . On note B_W^{red} l'ensemble des relevés par la section des éléments de W , ou l'ensemble de leurs images dans B_W (ces deux ensembles sont mis en bijection par j). L'ensemble B_W^{red} est constitué des éléments $\mathbf{s}_1 \mathbf{s}_2 \dots \mathbf{s}_k$ dont l'image dans W est de longueur k .

Si \mathbf{b} est un élément de B_W de la forme $\mathbf{b} = \mathbf{s}_1^{\varepsilon_1} \mathbf{s}_2^{\varepsilon_2} \dots \mathbf{s}_k^{\varepsilon_k}$, avec $\varepsilon_i = \pm 1$, on pose $\tilde{\mathbf{b}} = \mathbf{s}_k^{\varepsilon_k} \dots \mathbf{s}_2^{\varepsilon_2} \mathbf{s}_1^{\varepsilon_1}$. Cet élément est bien défini, indépendamment de la décomposition de \mathbf{b} en produit de générateurs car les relations de définition de B_W sont invariantes par retournement des mots. Si I est une partie de S on note W_I le sous-groupe (parabolique) de W engendré par I . Si I est une partie sphérique de S (c'est-à-dire si W_I est fini), on note w_I l'élément de plus grande longueur du sous-groupe parabolique W_I engendré par I ; on notera \mathbf{I} la partie de \mathbf{S} correspondant à I et \mathbf{w}_I le relevé dans B_W^{red} de w_I . Nous serons amenés à utiliser souvent le lemme d'échange, ou plutôt une version adaptée au monoïde de tresses qui est

Lemme 1.1. *Soient \mathbf{s} et \mathbf{t} dans \mathbf{S} et soit $\mathbf{b} \in B_W^{\text{red}}$; si $\mathbf{sb} \in B_W^{\text{red}}$ et $\mathbf{bt} \in B_W^{\text{red}}$ mais $\mathbf{sbt} \notin B_W^{\text{red}}$ alors $\mathbf{sb} = \mathbf{bt}$.*

2. LA FONCTION N

Soit T l'ensemble des réflexions de W , c'est-à-dire des conjugués des éléments de S .

Proposition 2.1. (i) *Il existe une application $N : B_W \rightarrow \mathbb{Z}T$ telle que*

$$N(\mathbf{s}_1^{\varepsilon_1} \mathbf{s}_2^{\varepsilon_2} \dots \mathbf{s}_k^{\varepsilon_k}) = \sum_{i=1}^{i=k} \varepsilon_i s_1 s_2 \dots s_{i-1} s_i s_{i-1} \dots s_1,$$

où $\mathbf{s}_i \in \mathbf{S}$ et $\varepsilon_i = \pm 1$.

(ii) *L'application $\mathbf{b} \mapsto (N(\mathbf{b}), p(\mathbf{b}))$ est un homomorphisme de groupes de B_W dans $\mathbb{Z}T \rtimes W$, où l'action de W sur $\mathbb{Z}T$ étend linéairement l'action de W sur T par conjugaison.*

Démonstration. Nous allons montrer qu'il existe un homomorphisme de groupes $f : B_W \rightarrow \mathbb{Z}T \rtimes W$ qui envoie $\mathbf{s} \in \mathbf{S}$ sur (s, s) . La composition de f avec la projection sur la première composante donne alors une application N qui vérifie (i). Pour montrer l'existence de f il suffit de vérifier les relations de tresses c'est-à-dire de montrer que pour tout couple (\mathbf{s}, \mathbf{t}) d'éléments de \mathbf{S} on a la relation $f(\mathbf{s})f(\mathbf{t}) \dots = f(\mathbf{t})f(\mathbf{s}) \dots$, où il y a $m_{\mathbf{s}, \mathbf{t}}$ facteurs dans les deux membres. Or dans le produit semi-direct $\mathbb{Z}T \rtimes W$ la première composante de $(s, s)(t, t) \dots$ (avec $m_{\mathbf{s}, \mathbf{t}}$ facteurs) est la somme de toutes les réflexions du groupe diédral engendré par s et t et la deuxième composante est l'élément de plus grande longueur de ce groupe diédral. On trouve donc le même résultat quand on intervertit \mathbf{s} et \mathbf{t} , d'où la relation et la proposition. \square

Lemme 2.2. *La restriction de N à P_W est un homomorphisme compatible avec les actions de B_W respectivement par conjugaison sur P_W et par conjugaison à travers p sur T .*

Démonstration. La restriction de (N, p) à P_W est simplement la restriction de N , d'où les deux assertions. \square

Lemme 2.3. *L'image de P_W par N est $2\mathbb{Z}T$.*

Démonstration. Le groupe P_W est engendré par les conjugués des carrés des réflexions par définition, donc son image par (N, p) est incluse dans le plus petit sous-groupe normal contenant les images des carrés des réflexions qui sont les $(2s, 1)$ et qui sont dans le sous-groupe normal $2T \times \{1\}$ de $\mathbb{Z}T \rtimes W$. Dans l'autre sens, pour tout $\mathbf{s} \in \mathbf{S}$ et tout $n \in \mathbb{Z}$ l'image de $\mathbf{s}^{2n} \in P_W$ est $2ns$. Comme l'image $N(P_W)$ est stable par action de W , elle contient donc $2\mathbb{Z}T$, d'où l'égalité cherchée. \square

Par passage au quotient par P_W on obtient un homomorphisme $(\overline{N}, \text{Id}) : W \rightarrow \mathbb{Z}/2\mathbb{Z}T \rtimes W$. Il est connu que l'application \overline{N} est injective (cf. [[Dy], chapitre 1], par exemple). On sait aussi que l'image de \overline{N} , considérée comme un ensemble de parties de T est caractérisée par le fait d'être admissible au sens suivant (cf. [[Pa]], où cela est fait dans un cadre un peu plus restrictif mais facile à généraliser) :

Définition 2.4. *Une partie finie de T est dite admissible si elle correspond à un ensemble de racines positives clos par combinaison linéaire à coefficients réels positifs et dont le complémentaire dans les racines positives est aussi clos.*

On a alors

Proposition 2.5. *L'image de (N, p) est l'ensemble des (x, w) tel que l'image de x modulo 2 soit $\overline{N}(w)$. L'image de N est l'ensemble des éléments de $\mathbb{Z}T$ dont l'image modulo 2 est admissible.*

Démonstration. La deuxième assertion est conséquence de la première. La propriété rappelée plus haut de l'image de \overline{N} montre que l'image de (N, p) est incluse dans l'ensemble de l'énoncé. Montrons l'inclusion en sens inverse. Si l'image \overline{A} modulo 2 de $A \in \mathbb{Z}T$ est égale à $\overline{N}(w)$ pour un certain élément $w \in W$, relevons w par $\mathbf{w} \in B_W^{\text{red}}$; on a $N(\mathbf{w}) - A \in 2\mathbb{Z}T$. Donc par le lemme 2.3 il existe $\mathbf{p} \in P_W$ tel que $N(\mathbf{p}) = N(\mathbf{w}) - A$, ce qui implique $N(\mathbf{p}^{-1}\mathbf{w}) = A$ par 2.1 (ii). \square

Proposition 2.6. *Le noyau de (N, p) est le dérivé du groupe de tresses pur et la restriction de N à P_W est l'homomorphisme canonique de P_W dans son abélianisé.*

Démonstration. Le noyau de (N, p) est inclus dans P_W . La restriction de (N, p) à P_W qui est la restriction de N est un homomorphisme $P_W \rightarrow 2\mathbb{Z}T$. Le noyau contient donc le dérivé de P_W et N se factorise donc par l'abélianisé de P_W . Pour obtenir le résultat il suffit de trouver un ensemble de générateurs de P_W qui s'envoie bijectivement sur une base de $2\mathbb{Z}T$. La proposition suivante nous fournit un tel ensemble, d'où le résultat. \square

Proposition 2.7. *Pour tout choix d'un ensemble de couples $(\mathbf{w}, \mathbf{s}) \in B_W^{\text{red}} \times \mathbf{S}$ tel que les éléments $\mathbf{w}\mathbf{s}\tilde{\mathbf{w}} \in B_W^{\text{red}}$ parcourent l'ensemble des relevés des réflexions de W les éléments $\mathbf{w}\mathbf{s}^2\mathbf{w}^{-1}$ engendrent P_W .*

On retrouve ainsi le résultat connu pour les groupes de tresses de type fini (y compris ceux associés à des groupes de réflexions complexes, cf. [[BrMaRo], 2.2]) que l'abélianisé de P_W est le groupe abélien libre engendré par les réflexions de W .

Démonstration. Appliquons la méthode de Reidemeister-Schreier ([J], chapitre 9) au sous-groupe P_W de B_W . Le quotient étant W , on peut prendre comme représentants des classes modulo P_W les éléments de B_W^{red} . On en déduit que P_W est engendré par les $\mathbf{v}sq(vs)^{-1}$, où \mathbf{v} décrit B_W^{red} , \mathbf{s} décrit \mathbf{S} et où q est la section de p . Or si $l(vs) < l(v)$, on peut écrire $\mathbf{v} = \mathbf{w}\mathbf{s}$ avec $\mathbf{w} \in B_W^{\text{red}}$ et l'on a $\mathbf{v}sq(vs)^{-1} = \mathbf{w}\mathbf{s}^2\mathbf{w}^{-1}$. Si $l(vs) > l(v)$, on a $\mathbf{v}sq(vs)^{-1} = 1$. Donc P_W est engendré par les $\mathbf{w}\mathbf{s}^2\mathbf{w}^{-1}$ avec $l(ws) > l(w)$. Nous devons voir qu'on peut se limiter aux \mathbf{w} et \mathbf{s} tels que $\mathbf{w}\mathbf{s}\tilde{\mathbf{w}}$ soit dans B_W^{red} et parcoure un ensemble de relevés des réflexions de W . C'est l'objet des deux lemmes suivants.

Lemme 2.8. *Si \mathbf{t} et \mathbf{t}' sont deux éléments de \mathbf{S} et \mathbf{w} et \mathbf{w}' deux éléments de B_W^{red} tels que $\mathbf{w}\mathbf{t}\tilde{\mathbf{w}} = \mathbf{w}'\mathbf{t}'\tilde{\mathbf{w}}' \in B_W^{\text{red}}$, alors $\mathbf{w}\mathbf{t}\mathbf{w}^{-1}$ et $\mathbf{w}'\mathbf{t}'\mathbf{w}'^{-1}$ sont conjugués par un produit d'éléments de la forme $\mathbf{v}\mathbf{s}^2\mathbf{v}^{-1}$ avec $\mathbf{s} \in \mathbf{S}$, $\mathbf{v}\mathbf{s} \in B_W^{\text{red}}$ et $l(\mathbf{v}) < l(\mathbf{w})$.*

Lemme 2.9. *Si $\mathbf{w} \in B_W^{\text{red}}$ et $\mathbf{s} \in \mathbf{S}$ sont tels que $\mathbf{w}\mathbf{s} \in B_W^{\text{red}}$ et $\mathbf{w}\mathbf{s}\tilde{\mathbf{w}} \notin B_W^{\text{red}}$, alors $\mathbf{w}\mathbf{s}^2\mathbf{w}^{-1}$ est produit d'éléments de la forme $\mathbf{v}\mathbf{t}^{\pm 2}\mathbf{v}^{-1}$ avec $\mathbf{t} \in \mathbf{S}$, $l(\mathbf{v}) < l(\mathbf{w})$ et $\mathbf{v}\mathbf{t}\tilde{\mathbf{v}} \in B_W^{\text{red}}$.*

Avant de démontrer les lemmes, rappelons le résultat de Dyer :

Lemme 2.10. [[Dy], 1.4] *Si $s_1 \dots s_{2n+1}$ est une décomposition réduite d'une réflexion de W alors cette réflexion s'écrit aussi $s_1 \dots s_n s_{n+1} s_n \dots s_1$.*

Démonstration du lemme 2.8. Puisque $\mathbf{w}\mathbf{t}\tilde{\mathbf{w}} = \mathbf{w}'\mathbf{t}'\tilde{\mathbf{w}}'$ dans le monoïde B_W^+ , on passe d'une écriture réduite correspondant à la décomposition en produit comme

dans le membre de gauche, c'est-à-dire formée par concaténation d'une écriture réduite de \mathbf{w} , de \mathbf{t} et d'une écriture réduite de $\tilde{\mathbf{w}}$ à une écriture réduite analogue correspondant au membre de droite par une suite de relations de tresses. Précisément, il existe une suite de triplets que nous supposons non redondante $(\mathbf{v}_i, \mathbf{s}_i, \mathbf{w}_i)$, $i = 1 \dots n$ tels que \mathbf{v}_i et \mathbf{w}_i soient dans B_W^{red} et de même longueur, que $\mathbf{s}_i \in \mathbf{S}$, que $(\mathbf{v}_1, \mathbf{s}_1, \mathbf{w}_1) = (\mathbf{w}, \mathbf{t}, \tilde{\mathbf{w}})$, que $(\mathbf{v}_n, \mathbf{s}_n, \mathbf{w}_n) = (\mathbf{w}', \mathbf{t}', \tilde{\mathbf{w}}')$, que $\mathbf{v}_i \mathbf{s}_i \mathbf{w}_i = \mathbf{v} \mathbf{t} \tilde{\mathbf{w}}$ pour tout i et que l'on passe de chaque triplet au suivant en appliquant une seule relation de tresse à une écriture de $\mathbf{v}_i \mathbf{s}_i \mathbf{w}_i$ obtenue par concaténation d'une écriture de chacun des trois termes puis par redécoupage en trois termes de l'écriture obtenue. L'image dans W de tous les produits $\mathbf{v}_i \mathbf{s}_i \mathbf{w}_i$ est la même réflexion et par 2.10 on voit que $\mathbf{w}_i = \tilde{\mathbf{v}}_i$. On passe de $\mathbf{v}_{i-1} \mathbf{s}_{i-1} \tilde{\mathbf{v}}_{i-1}$ à $\mathbf{v}_i \mathbf{s}_i \tilde{\mathbf{v}}_i$ en appliquant une relation de tresses qui fait intervenir le facteur \mathbf{s}_{i-1} car on a supposé la suite de triplets non redondante. C'est donc la relation entre \mathbf{s} et \mathbf{s}_{i-1} pour un certain $\mathbf{s} \in \mathbf{S}$. Comme $\mathbf{v}_{i-1} \mathbf{s}_{i-1} \tilde{\mathbf{v}}_{i-1}$ est dans B_W^{red} l'élément \mathbf{v}_{i-1} ne peut pas être divisible à droite par un élément de longueur plus grande que $\left\lfloor \frac{m_{s, s_{i-1}} - 1}{2} \right\rfloor$ du monoïde engendré par \mathbf{s} et \mathbf{s}_{i-1} . Donc $m_{s, s_{i-1}}$ est impair et on a $\mathbf{s}_i = \mathbf{s}$. Considérons alors la suite $\mathbf{v}_i \mathbf{s}_i \mathbf{v}_i^{-1}$ d'éléments de B_W . Pour prouver le lemme nous montrons qu'on passe d'un terme de cette suite au terme suivant par une suite de conjugaisons comme dans l'énoncé : un terme de la suite est de la forme $\mathbf{x} \mathbf{s} \mathbf{t} \dots \mathbf{u} \dots \mathbf{t}^{-1} \mathbf{s}^{-1} \mathbf{x}^{-1}$ où \mathbf{u} vaut \mathbf{s} ou \mathbf{t} suivant la parité de $\frac{m_{s, t} - 1}{2}$. Ce terme est égal à $\mathbf{x} \mathbf{t}^{-1} \mathbf{s}^{-1} \dots \mathbf{u}' \dots \mathbf{s} \mathbf{t} \mathbf{x}^{-1}$, où \mathbf{u}' vaut \mathbf{t} ou \mathbf{s} suivant que \mathbf{u} vaut \mathbf{s} ou \mathbf{t} . On peut l'écrire

$${}^{\mathbf{x}} \mathbf{t}^{-2} \dots {}^{\mathbf{x} \mathbf{t}} \mathbf{s}^{-2} \dots {}^{\mathbf{x} \mathbf{t} \mathbf{s}} \mathbf{t}^{-2} \dots (\mathbf{x} \mathbf{t} \mathbf{s} \dots \mathbf{u}' \dots \mathbf{s}^{-1} \mathbf{t}^{-1} \mathbf{x}^{-1}).$$

Ceci donne le résultat puisque le terme suivant de la suite est $\mathbf{x} \mathbf{t} \mathbf{s} \dots \mathbf{u}' \dots \mathbf{s}^{-1} \mathbf{t}^{-1} \mathbf{x}^{-1}$. \square

Démonstration du lemme 2.9. On fait une récurrence sur $l(\mathbf{w})$. Si $\mathbf{w} \mathbf{s} \tilde{\mathbf{w}}$ n'est pas dans B_W^{red} , écrivons $\mathbf{w} = \mathbf{s}' \mathbf{w}_1$. On peut appliquer l'hypothèse de récurrence à $\mathbf{w}_1 \mathbf{s}^2 \mathbf{w}_1^{-1}$: cet élément est produit d'éléments de la forme (resp. est de la forme) $\mathbf{v} \mathbf{t}^2 \mathbf{v}^{-1}$ avec $\mathbf{v} \mathbf{t} \tilde{\mathbf{v}} \in B_W^{\text{red}}$ et $l(\mathbf{v}) < l(\mathbf{w}_1) < l(\mathbf{w})$ (resp. $l(\mathbf{v}) < l(\mathbf{w})$). Donc $\mathbf{w} \mathbf{s}^2 \mathbf{w}^{-1}$ est produit des $\mathbf{s}' \mathbf{v} \mathbf{t}^2 \mathbf{v}^{-1} \mathbf{s}'^{-1}$. Pour un tel terme, si $\mathbf{s}' \mathbf{v} \mathbf{t} \tilde{\mathbf{v}} \mathbf{s}'$ est dans B_W^{red} , on a fini (ceci ne se produit pas si $\mathbf{v} = \mathbf{w}_1$). Sinon, faisons deux cas selon que $\mathbf{s}' \mathbf{v} \mathbf{t}$ est ou n'est pas dans B_W^{red} . Si cet élément n'est pas dans B_W^{red} , il y a deux possibilités (cf. 1.1) : ou bien $\mathbf{s}' \mathbf{v} = \mathbf{v} \mathbf{t}$ et alors $\mathbf{s}' \mathbf{v} \mathbf{t}^2 \mathbf{v}^{-1} \mathbf{s}'^{-1} = \mathbf{v} \mathbf{t}^2 \mathbf{v}^{-1}$, et on a fini ; ou bien $\mathbf{v} = \mathbf{s}' \mathbf{v}'$ et $\mathbf{s}' \mathbf{v} \mathbf{t}^2 \mathbf{v}^{-1} \mathbf{s}'^{-1} = \mathbf{s}'^2 \mathbf{v}' \mathbf{t}^2 \mathbf{v}'^{-1} \mathbf{s}'^{-2}$ et on finit en appliquant l'hypothèse de récurrence à $\mathbf{v}' \mathbf{t}^2 \mathbf{v}'^{-1}$. Si $\mathbf{s}' \mathbf{v} \mathbf{t} \in B_W^{\text{red}}$, alors faisons de nouveau deux cas : ou bien $\mathbf{s}' \mathbf{v} \mathbf{t} \tilde{\mathbf{v}} \notin B_W^{\text{red}}$ ou bien $\mathbf{s}' \mathbf{v} \mathbf{t} \tilde{\mathbf{v}} = \mathbf{v} \mathbf{t} \tilde{\mathbf{v}} \mathbf{s}'$ (toujours par 1.1).

- Dans le premier cas le lemme d'échange dit que $\mathbf{v} \mathbf{t} \tilde{\mathbf{v}} = \mathbf{s}' \mathbf{v} \mathbf{t} \tilde{\hat{\mathbf{v}}}$, où $\hat{\mathbf{v}}$ s'obtient en supprimant un générateur dans l'écriture de \mathbf{v} . On peut alors appliquer 2.10 qui montre que $\mathbf{v} \mathbf{t} \tilde{\hat{\mathbf{v}}} = \mathbf{s}' \mathbf{u} \mathbf{t}' \tilde{\mathbf{u}} \mathbf{s}'$, où $\mathbf{v} = \mathbf{u} \mathbf{t}'$ avec $\mathbf{u} \in B_W^{\text{red}}$ et $\mathbf{t}' \in \mathbf{S}$. Par 2.8, on en déduit que $\mathbf{v} \mathbf{t} \tilde{\mathbf{v}}^{-1}$ est conjugué de $\mathbf{s}' \mathbf{u} \mathbf{t}' \mathbf{u}^{-1} \mathbf{s}'^{-1}$ par un produit d'éléments de la forme $\mathbf{x} \mathbf{r}^2 \mathbf{x}^{-1}$ avec $\mathbf{r} \in \mathbf{S}$, $\mathbf{x} \mathbf{r} \tilde{\mathbf{x}} \in B_W^{\text{red}}$ et $l(\mathbf{x}) < l(\mathbf{v})$. On en déduit que $\mathbf{s}' \mathbf{v} \mathbf{t}^2 \mathbf{v}^{-1} \mathbf{s}'^{-1}$ est conjugué de $\mathbf{s}'^2 \mathbf{u} \mathbf{t}'^2 \mathbf{u}^{-1} \mathbf{s}'^{-2}$ par un produit d'éléments de la forme $\mathbf{s}' \mathbf{x} \mathbf{r}^2 \mathbf{x}^{-1} \mathbf{s}'^{-1}$ avec $l(\mathbf{s}' \mathbf{x}) < l(\mathbf{w})$, ce qui permet de terminer ce cas par récurrence.

- Dans le deuxième cas, on passe de $\mathbf{s}' \mathbf{v} \mathbf{t} \tilde{\mathbf{v}}$ à $\mathbf{v} \mathbf{t} \tilde{\mathbf{v}} \mathbf{s}'$ par l'application d'une suite de relations de tresses (ces éléments sont égaux et sont dans B_W^{red}). Considérons la première relation dans cette suite qui fait intervenir \mathbf{s}' : il existe \mathbf{r} divisant à gauche $\mathbf{v} \mathbf{t} \tilde{\mathbf{v}}$ dans B_W^{red} tel que cette relation soit la relation entre \mathbf{s}' et \mathbf{r} , c'est-à-dire

que $\mathbf{vt}\tilde{\mathbf{v}}$ a une écriture dans B_W^{red} qui commence par $\mathbf{w}'_{s',r}$, où $\mathbf{w}'_{s',r}$ est défini par $\mathbf{w}_{s',r} = \mathbf{s}'\mathbf{w}'_{s',r}$. On a alors ou bien

(a) $\mathbf{vt}\tilde{\mathbf{v}} = \mathbf{w}'_{s',r}$

ou bien

(b) $\mathbf{vt}\tilde{\mathbf{v}} = \mathbf{w}'_{s',r}\mathbf{xu}\tilde{\mathbf{w}}'_{s',r}$ pour un certain \mathbf{x} avec $l(\mathbf{x}) < l(\mathbf{v})$, $\mathbf{u} \in \mathbf{S}$ et \mathbf{s}' ou \mathbf{r} , suivant la parité de $m_{s',r}$ commute à $\mathbf{xu}\tilde{\mathbf{x}}$ d'après 1.1.

Dans le cas (a), posons $m_{s',r} = 2k$, on a $\mathbf{s}'\mathbf{vtv}^{-1}\mathbf{s}'^{-1} = \underbrace{\mathbf{s}'\mathbf{r}\mathbf{s}' \dots \mathbf{r}^{-1}\mathbf{s}'^{-1}\mathbf{r}^{-1}}_{k+1 \quad k-1} \mathbf{s}'^{-1}$,

ce qui, d'après la relation de tresses, vaut $\underbrace{\mathbf{r}^{-1}\mathbf{s}'^{-1}\mathbf{r}^{-1} \dots \mathbf{r}\mathbf{s}'\mathbf{r}}_{k-1 \quad k}$, et par le même argument qu'à la fin de la démonstration du lemme 2.9 cet élément est conjugué par des éléments du type voulu à $\underbrace{\mathbf{r}\mathbf{s}'\mathbf{r} \dots \mathbf{r}^{-1}\mathbf{s}'^{-1}\mathbf{r}^{-1}}_{k \quad k-1}$ et on a fini (remarquer que $\underbrace{\mathbf{r}\mathbf{s}'\mathbf{r} \dots \mathbf{r}\mathbf{s}'\mathbf{r}}_{2k-1}$ est dans B_W^{red}).

Dans le cas (b), par 2.8 $\mathbf{vt}^2\mathbf{v}^{-1}$ est conjugué par des éléments du type voulu $\mathbf{zs}_1^2\mathbf{z}^{-1}$ avec $l(\mathbf{z}) < l(\mathbf{v})$ à $\mathbf{w}'_{s',r}\mathbf{xu}^2\mathbf{x}^{-1}(\mathbf{w}'_{s',r})^{-1}$, donc $\mathbf{s}'\mathbf{vtv}^{-1}\mathbf{s}'^{-1}$ est conjugué par les $\mathbf{s}'\mathbf{zs}_1^2\mathbf{z}^{-1}\mathbf{s}'^{-1}$ (auquel on peut appliquer l'hypothèse de récurrence) à $\mathbf{w}_{s',r}\mathbf{xu}^2\mathbf{x}^{-1}\mathbf{w}_{s',r}^{-1}$. Il reste à voir que ce dernier élément est bien produit d'éléments du type voulu. Supposons que c'est \mathbf{r} qui commute à $\mathbf{xu}\tilde{\mathbf{x}}$. On écrit alors l'élément considéré sous la forme $\mathbf{y}\mathbf{rxu}^2\mathbf{x}^{-1}\mathbf{r}^{-1}\mathbf{y}^{-1}$. On peut appliquer l'hypothèse de récurrence à $\mathbf{rxu}^2\mathbf{x}^{-1}\mathbf{r}^{-1}$ et on termine à nouveau par récurrence. \square

On peut alors terminer la démonstration de la proposition. On sait que P_W est engendré par les $\mathbf{ws}^2\mathbf{w}^{-1}$ où $\mathbf{ws} \in B_W^{\text{red}}$. Par récurrence sur la longueur de \mathbf{w} on voit en utilisant les deux lemmes que $\mathbf{ws}^2\mathbf{w}^{-1}$ s'exprime à l'aide d'éléments $\mathbf{vt}^2\mathbf{v}^{-1}$ pour des couples (\mathbf{v}, \mathbf{t}) tels que les éléments $\mathbf{vt}\tilde{\mathbf{v}}$ soient dans B_W^{red} et aient des images toutes distinctes dans W . \square

Corollaire 2.11. (de 2.6) Si \mathbf{b} et \mathbf{b}' sont des éléments de B_W , on a $N(\mathbf{b}) = N(\mathbf{b}')$ si et seulement si $\mathbf{b}^{-1}\mathbf{b}' \in D(P_W)$.

Démonstration. Si deux éléments ont même image par N , ils ont même image dans W . Donc le quotient $\mathbf{b}^{-1}\mathbf{b}'$ est dans P_W et est dans le noyau de la restriction de N à P_W qui est un homomorphisme. D'où l'implication directe. Réciproquement, si $\mathbf{b}^{-1}\mathbf{b}' \in D(P_W)$ alors en particulier \mathbf{b} et \mathbf{b}' ont même image w dans W . Si on pose $N(\mathbf{b}) = (w, A)$ et $N(\mathbf{b}') = (w, A')$ on a $1 = N(\mathbf{b}^{-1}\mathbf{b}') = (1, A' - A)$, donc $A = A'$. \square

Remarque 2.12. (i) La restriction via l'homomorphisme canonique de N au monoïde de tresses B_W^+ est croissante (à valeurs dans NT) si l'on prend comme relation d'ordre dans le monoïde la relation de divisibilité à gauche et dans $\mathbb{Z}T$ la relation donnée par le fait que les éléments de NT sont plus grands que 0.
(ii) L'image du monoïde B_W^+ par N est un sous-monoïde de NT qui engendre le groupe $\mathbb{Z}T$. Question : déterminer ce sous-monoïde. Même question pour l'image des éléments purs positifs.

3. PRÉSENTATIONS DE CERTAINS SOUS-GROUPES DU GROUPE DE TRESSSES

Nous allons appliquer la méthode de Reidemeister-Schreier pour donner une présentation de certains sous-groupes de B_W et en particulier du groupe de tresses pur. Soit $I \subset S$. Notons D_I l'image réciproque de W_I dans B_W . Ce sous-groupe contient le groupe de tresses pur et le sous-groupe parabolique B_I de B_W où on a noté \mathbf{I} la partie de \mathbf{S} dont l'image dans W est I . On dit qu'un élément $\mathbf{w} \in B_W^{\text{red}}$ est \mathbf{I} -réduit si pour tout $\mathbf{s} \in \mathbf{I}$ on a $\mathbf{sw} \in B_W^{\text{red}}$. Ceci est équivalent à dire que l'image w de \mathbf{w} dans W est I -réduite, c'est-à-dire est de longueur minimale dans sa classe à droite modulo W_I . On a de même une notion d'éléments réduits- \mathbf{I} et d'éléments \mathbf{I} -réduits- \mathbf{J} pour deux parties \mathbf{I} et \mathbf{J} de \mathbf{S} . Commençons par généraliser 2.7.

Proposition 3.1. *Pour tout choix d'un ensemble de couples $(\mathbf{w}, \mathbf{s}) \in B_W^{\text{red}} \times \mathbf{S}$ tel que les éléments $\mathbf{ws}\tilde{\mathbf{w}} \in B_W^{\text{red}}$ parcourent l'ensemble des relevés des réflexions I -réduites de W , les éléments $\mathbf{ws}^2\mathbf{w}^{-1}$ et I engendrent D_I .*

Démonstration. Le groupe D_I est engendré par \mathbf{I} et P_W , donc par \mathbf{I} et un ensemble de $\mathbf{ws}^2\mathbf{w}^{-1}$ comme dans 2.7. Il suffit de voir que l'on peut retirer de cet ensemble les éléments tels que $\mathbf{ws}\tilde{\mathbf{w}}$ ne soit pas \mathbf{I} -réduit. Par récurrence sur la longueur de \mathbf{w} , il suffit de voir que si $\mathbf{ws}\tilde{\mathbf{w}}$ n'est pas \mathbf{I} -réduit $\mathbf{ws}^2\mathbf{w}^{-1}$ s'écrit comme produit d'éléments de \mathbf{I} et d'éléments analogues $\mathbf{w}'\mathbf{s}'^2\mathbf{w}'^{-1}$ avec $l(\mathbf{w}') < l(\mathbf{w})$ ou de leurs inverses. Si $\mathbf{ws}\tilde{\mathbf{w}}$ n'est pas \mathbf{I} -réduit, il a une écriture qui commence par $\mathbf{s}' \in \mathbf{I}$ et donc par 2.10 s'écrit $\mathbf{s}'\mathbf{vr}\tilde{\mathbf{v}}\mathbf{s}'$ avec $\mathbf{r} \in \mathbf{S}$; par les lemmes 2.8 et 2.9 $\mathbf{ws}^2\mathbf{w}^{-1}$ est conjugué à $\mathbf{s}'\mathbf{vr}^2\mathbf{v}^{-1}\mathbf{s}'^{-1}$ par des éléments de la forme $\mathbf{ut}^2\mathbf{u}^{-1}$ avec $\mathbf{t} \in \mathbf{S}$, $l(\mathbf{u}) < l(\mathbf{w})$ et $\mathbf{ut}\tilde{\mathbf{u}} \in B_W^{\text{red}}$. Ceci donne le résultat. \square

Cherchons maintenant une présentation de D_I . Pour cela nous appliquons la méthode de Reidemeister-Schreier. Un ensemble de représentants du quotient $D_I \backslash B_W$ est formé par les éléments \mathbf{I} -réduits de B_W^{red} car $D_I \backslash B_W \simeq W_I \backslash W$. On note $[\mathbf{b}]$ le représentant de la classe $\mathbf{b}D_I$. Les éléments $\mathbf{ws}[\mathbf{ws}]^{-1}$ où \mathbf{w} parcourt l'ensemble des éléments \mathbf{I} -réduits et où \mathbf{s} parcourt \mathbf{S} forment donc un ensemble générateur de D_I . Si \mathbf{ws} est dans B_W^{red} et est \mathbf{I} -réduit le générateur obtenu vaut 1. Si \mathbf{ws} est dans B_W^{red} mais non \mathbf{I} -réduit, cela signifie qu'il existe $\mathbf{t} \in \mathbf{I}$ et $\mathbf{v} \in B_W^{\text{red}}$ tel que $\mathbf{ws} = \mathbf{tv}$. Alors \mathbf{v} est \mathbf{I} -réduit et est égal à $[\mathbf{ws}]$. Le générateur obtenu est \mathbf{t} (ceci inclut le cas où $\mathbf{w} = 1$, donc \mathbf{t} parcourt tout \mathbf{I}). Si \mathbf{ws} n'est pas dans B_W^{red} alors $\mathbf{w} = \mathbf{vs}$, l'élément \mathbf{v} est \mathbf{I} -réduit- $\{\mathbf{s}\}$ et est égal à $[\mathbf{ws}]$ car $\mathbf{ws} = \mathbf{vs}^2 = (\mathbf{vs}^2\mathbf{v}^{-1})\mathbf{v}$. Le générateur obtenu est $\mathbf{vs}^2\mathbf{v}^{-1}$. On obtient donc que D_I est engendré par \mathbf{I} et par les éléments $\mathbf{ws}^2\mathbf{w}^{-1}$ où \mathbf{s} est dans \mathbf{S} et $\mathbf{ws} \in B_W^{\text{red}}$ est \mathbf{I} -réduit.

Définition 3.2. *Pour $\mathbf{w} \in B_W^{\text{red}}$ et $\mathbf{s} \in \mathbf{S}$ tels que $\mathbf{ws} \in B_W^{\text{red}}$ soit \mathbf{I} -réduit, on pose $a_{\mathbf{w},\mathbf{s}} = \mathbf{ws}^2\mathbf{w}^{-1}$.*

La méthode de Reidemeister-Schreier dit que pour chaque représentant de B_W/D_I dans l'ensemble choisi et pour chaque relation de tresses entre deux éléments de \mathbf{S} on obtient une relation entre les générateurs de D_I par le procédé de réécriture et que les relations obtenues forment un ensemble complet de relations.

Autrement dit pour chaque représentant \mathbf{b} , c'est-à-dire chaque élément \mathbf{I} -réduit de B_W^{red} , et chaque paire (\mathbf{s}, \mathbf{t}) , telle que $m_{\mathbf{s},\mathbf{t}}$ soit fini, d'éléments de \mathbf{S} , nous devons réécrire la relation

$$\underbrace{\mathbf{bst} \dots}_{m_{\mathbf{s},\mathbf{t}}} = \underbrace{\mathbf{bts} \dots}_{m_{\mathbf{s},\mathbf{t}}} \quad (*)$$

Rappelons le procédé de réécriture : à chaque élément \mathbf{I} -réduit $\mathbf{b} \in B_W^{\text{red}}$ et chaque élément $\mathbf{s} \in \mathbf{S}$ est associé un générateur $\mathbf{bs}[\mathbf{bs}]^{-1}$ de D_I . Le procédé de réécriture consiste à remplacer le produit \mathbf{bs} par $(\mathbf{bs}[\mathbf{bs}]^{-1})[\mathbf{bs}]$, ce qui permet de proche en proche d'écrire tout élément de B_W comme produit de générateurs de D_I et d'un représentant de B_W/D_I .

En appliquant cette réécriture aux deux membres de (*) on obtient une relation entre les générateurs de D_I et quand \mathbf{b} , \mathbf{s} et \mathbf{t} varient on obtient un ensemble complet de relations.

Pour faire le calcul nous utilisons la notation suivante :

Notation 3.3. Un produit de $i \leq m_{s,t}$ facteurs alternativement \mathbf{s} et \mathbf{t} sera noté $\langle \mathbf{s}, \mathbf{t}; i \rangle$.

Pour alléger les notations nous écrivons m pour $m_{s,t}$. Quitte à échanger \mathbf{s} et \mathbf{t} , on peut écrire $\mathbf{b} = \mathbf{b}_0 \langle \mathbf{s}, \mathbf{t}; i \rangle$ avec $0 \leq i \leq m$ et i maximal, c'est-à-dire que \mathbf{b}_0 est réduit- $\{\mathbf{s}, \mathbf{t}\}$. Pour $0 \leq j < m$, nous écrivons $a_{\mathbf{s}, \mathbf{t}}^{(j)}$ à la place de $a_{\mathbf{b}_0 \langle \mathbf{s}, \mathbf{t}; j \rangle, \mathbf{r}}$ où \mathbf{r} vaut \mathbf{s} si j est pair et \mathbf{t} sinon (c'est-à-dire, sauf dans le cas $j = m - 1$, que \mathbf{r} est celui des deux générateurs \mathbf{s} ou \mathbf{t} qui divise à droite $\langle \mathbf{s}, \mathbf{t}; j + 1 \rangle$ dans le monoïde B_W^+).

Nous allons subdiviser le calcul en plusieurs cas suivant la valeur de i et les propriétés de \mathbf{b}_0 .

Cas 1) : Cas où $i = 0$.

Cas 2) : On a $i \geq 1$ et $\mathbf{b}_0 \mathbf{t}$ est \mathbf{I} -réduit (par hypothèse $\mathbf{b}_0 \mathbf{s}$ est \mathbf{I} -réduit, puisque $i \geq 1$).

Cas 3) : On a $i \geq 1$ et $\mathbf{b}_0 \mathbf{t} = \mathbf{s}' \mathbf{b}_0$ avec $\mathbf{s}' \in \mathbf{I}$ (et $\mathbf{b}_0 \mathbf{s}$ est \mathbf{I} -réduit).

Pour appliquer le procédé de réécriture dans les trois cas ci-dessus, nous aurons besoin des deux lemmes suivants dont le premier est bien connu. Dans ces deux lemmes on considère deux éléments \mathbf{s} et \mathbf{t} de \mathbf{S} tels que $m_{s,t}$ est fini.

Lemme 3.4. Si $\mathbf{b} \in B_W^{\text{red}}$ est tel que \mathbf{bs} et \mathbf{bt} sont dans B_W^{red} alors $\mathbf{bw}_{\{\mathbf{s}, \mathbf{t}\}} \in B_W^{\text{red}}$.

Lemme 3.5. Si $\mathbf{b} \in B_W^{\text{red}}$ est un élément réduit- $\{\mathbf{s}, \mathbf{t}\}$ et si \mathbf{bs} et \mathbf{bt} sont \mathbf{I} -réduits alors $\mathbf{bw}_{\{\mathbf{s}, \mathbf{t}\}}$ est \mathbf{I} -réduit.

Démonstration. Si $\mathbf{bw}_{\{\mathbf{s}, \mathbf{t}\}}$ n'est pas \mathbf{I} -réduit, notons i le plus petit indice tel que $\mathbf{b} \langle \mathbf{s}, \mathbf{t}; i \rangle$ ne soit pas \mathbf{I} -réduit. On a $i > 1$ et il existe un élément $\mathbf{s}' \in \mathbf{I}$ tel que $\mathbf{b} \langle \mathbf{s}, \mathbf{t}; i \rangle = \mathbf{s}' \mathbf{b} \langle \mathbf{s}, \mathbf{t}; i - 1 \rangle$. Cette égalité implique que $\mathbf{b} \langle \mathbf{s}, \mathbf{t}; i \rangle$ est divisible à droite à la fois par \mathbf{s} et \mathbf{t} (car $i - 1 > 0$), donc est divisible par $\mathbf{w}_{\{\mathbf{s}, \mathbf{t}\}}$, ce qui implique $i = m_{s,t}$ car \mathbf{b} est réduit- $\{\mathbf{s}, \mathbf{t}\}$. On peut alors simplifier par $\langle \mathbf{s}, \mathbf{t}; i - 1 \rangle$ et l'on obtient que $\mathbf{s}' \mathbf{b}$ est égal à \mathbf{bs} ou \mathbf{bt} (selon la parité de i), ce qui est contraire à l'hypothèse. \square

Cas 1) : Si $i = 0$, si $\mathbf{b}_0 \mathbf{s}$ et $\mathbf{b}_0 \mathbf{t}$ sont tous deux \mathbf{I} -réduits, la relation obtenue est triviale $1 = 1$. Si $\mathbf{b}_0 \mathbf{s} = \mathbf{s}' \mathbf{b}_0$ avec $\mathbf{s}' \in \mathbf{I}$ et si $\mathbf{b}_0 \mathbf{t}$ est \mathbf{I} -réduit on obtient la relation triviale $\mathbf{s}' = \mathbf{s}'$. Si $\mathbf{b}_0 \mathbf{s} = \mathbf{s}' \mathbf{b}_0$ et $\mathbf{b}_0 \mathbf{t} = \mathbf{t}' \mathbf{b}_0$ avec \mathbf{s}' et \mathbf{t}' dans \mathbf{I} , on obtient la relation de tresses entre \mathbf{s}' et \mathbf{t}' (remarquer que $m_{s,t} = m_{s',t'}$ dans ce cas). Ce dernier cas nous donne toutes les relations de tresses entre éléments de \mathbf{I} car il contient en particulier le cas où $\mathbf{b}_0 = 1$.

Cas 2) : Si $\mathbf{b}_0 \mathbf{t}$ est \mathbf{I} -réduit (et $i \geq 1$). Dans un des deux membres de (*), le produit de $\mathbf{b}_0 \langle \mathbf{s}, \mathbf{t}; i \rangle$ par le premier facteur \mathbf{s} ou \mathbf{t} est dans B_W^{red} . Le procédé de réécriture est alors trivial jusqu'à arriver au produit $\mathbf{b}_0 \mathbf{w}_{\{\mathbf{s}, \mathbf{t}\}}$. La réécriture du

produit suivant qui consiste à multiplier $\mathbf{b}_0 \mathbf{w}_{\{\mathbf{s}, \mathbf{t}\}}$ par \mathbf{s} ou \mathbf{t} suivant la parité donne $a_{\mathbf{t}, \mathbf{s}}^{(m-1)} \mathbf{b}_0 < \mathbf{t}, \mathbf{s}; m-1 >$. On continue de proche en proche pour obtenir le premier membre sous la forme

$$a_{\mathbf{t}, \mathbf{s}}^{(m-1)} a_{\mathbf{t}, \mathbf{s}}^{(m-2)} \dots a_{\mathbf{t}, \mathbf{s}}^{(m-i)} \mathbf{b}_0 < \mathbf{t}, \mathbf{s}; m-i >.$$

Dans l'autre membre le même type de calcul donne

$$a_{\mathbf{s}, \mathbf{t}}^{(i-1)} a_{\mathbf{s}, \mathbf{t}}^{(i-2)} \dots a_{\mathbf{s}, \mathbf{t}}^{(0)} \mathbf{b}_0 < \mathbf{t}, \mathbf{s}; m-i >.$$

La relation obtenue est donc

$$a_{\mathbf{t}, \mathbf{s}}^{(m-1)} a_{\mathbf{t}, \mathbf{s}}^{(m-2)} \dots a_{\mathbf{t}, \mathbf{s}}^{(m-i)} = a_{\mathbf{s}, \mathbf{t}}^{(i-1)} a_{\mathbf{s}, \mathbf{t}}^{(i-2)} \dots a_{\mathbf{s}, \mathbf{t}}^{(0)}.$$

Cas 3) : Dans un des deux membres, comme dans le cas précédent, le procédé de réécriture est trivial jusqu'à arriver au produit $\mathbf{b}_0 \mathbf{w}_{\{\mathbf{s}, \mathbf{t}\}} = \mathbf{s}' \mathbf{b}_0 < \mathbf{s}, \mathbf{t}; m-1 >$. La réécriture des produits suivants se passe comme dans le cas précédent et on obtient

$$\mathbf{s}' a_{\mathbf{s}, \mathbf{t}}^{(m-2)} a_{\mathbf{s}, \mathbf{t}}^{(m-3)} \dots a_{\mathbf{s}, \mathbf{t}}^{(m-i-1)} \mathbf{b}_0 < \mathbf{s}, \mathbf{t}; m-i-1 >.$$

Dans l'autre membre la réécriture des premiers produits se passe comme dans le premier cas, jusqu'à arriver à réécrire le produit $\mathbf{b}_0 \mathbf{t}$ qui donne $\mathbf{s}' \mathbf{b}_0$. Les réécritures suivantes sont triviales et on trouve

$$a_{\mathbf{s}, \mathbf{t}}^{(i-1)} a_{\mathbf{s}, \mathbf{t}}^{(i-2)} \dots a_{\mathbf{s}, \mathbf{t}}^{(0)} \mathbf{s}' \mathbf{b}_0 < \mathbf{s}, \mathbf{t}; m-i-1 >.$$

La relation obtenue est donc

$$\mathbf{s}' a_{\mathbf{s}, \mathbf{t}}^{(m-2)} a_{\mathbf{s}, \mathbf{t}}^{(m-3)} \dots a_{\mathbf{s}, \mathbf{t}}^{(m-i-1)} = a_{\mathbf{s}, \mathbf{t}}^{(i-1)} a_{\mathbf{s}, \mathbf{t}}^{(i-2)} \dots a_{\mathbf{s}, \mathbf{t}}^{(0)} \mathbf{s}'.$$

Pour pouvoir résumer les considérations précédentes dans un énoncé nous aurons besoin de faire varier \mathbf{b}_0 dans ce qui précède : nous noterons $a_{\mathbf{b}_0, \mathbf{s}, \mathbf{t}}^{(i)}$ au lieu de $a_{\mathbf{s}, \mathbf{t}}^{(i)}$, c'est-à-dire $a_{\mathbf{b}_0, \mathbf{s}, \mathbf{t}}^{(i)} = a_{\mathbf{b}_0 \underbrace{\mathbf{st} \dots \mathbf{r}}_i}$, avec la notation 3.2, où \mathbf{r} vaut \mathbf{s} ou \mathbf{t} suivant que i est pair ou impair.

Proposition 3.6. *Le groupe D_I admet une présentation où les générateurs sont les éléments de \mathbf{I} et les $a_{\mathbf{b}, \mathbf{s}}$, où $\mathbf{s} \in \mathbf{S}$ et $\mathbf{b}\mathbf{s} \in B_W^{\text{red}}$ est \mathbf{I} -réduit, et où les relations sont les relations de tresses entre éléments de \mathbf{I} et les relations*

$$a_{\mathbf{b}_0, \mathbf{s}, \mathbf{t}}^{(m-1)} a_{\mathbf{b}_0, \mathbf{s}, \mathbf{t}}^{(m-2)} \dots a_{\mathbf{b}_0, \mathbf{s}, \mathbf{t}}^{(m-i)} = a_{\mathbf{b}_0, \mathbf{t}, \mathbf{s}}^{(i-1)} a_{\mathbf{b}_0, \mathbf{t}, \mathbf{s}}^{(i-2)} \dots a_{\mathbf{b}_0, \mathbf{t}, \mathbf{s}}^{(0)} \text{ pour } i = 1, \dots, m \quad (1)$$

$$\mathbf{s}' a_{\mathbf{b}_0, \mathbf{s}, \mathbf{t}}^{(m-2)} a_{\mathbf{b}_0, \mathbf{s}, \mathbf{t}}^{(m-3)} \dots a_{\mathbf{b}_0, \mathbf{s}, \mathbf{t}}^{(m-i-1)} = a_{\mathbf{b}_0, \mathbf{s}, \mathbf{t}}^{(i-1)} a_{\mathbf{b}_0, \mathbf{s}, \mathbf{t}}^{(i-2)} \dots a_{\mathbf{b}_0, \mathbf{s}, \mathbf{t}}^{(0)} \mathbf{s}' \text{ pour } i = 1, \dots, m-1, \quad (2)$$

où (\mathbf{s}, \mathbf{t}) est un couple arbitraire d'éléments de \mathbf{S} tel que $m = m_{\mathbf{s}, \mathbf{t}}$ est fini, où dans (1) $\mathbf{b}_0 \in B_W^{\text{red}}$ décrit l'ensemble des éléments réduits- $\{\mathbf{s}, \mathbf{t}\}$ tels que $\mathbf{b}_0 \mathbf{s}$ et $\mathbf{b}_0 \mathbf{t}$ soient \mathbf{I} -réduits et dans (2) $\mathbf{b}_0 \in B_W^{\text{red}}$ décrit l'ensemble des éléments réduits- $\{\mathbf{s}, \mathbf{t}\}$ tels que $\mathbf{b}_0 \mathbf{s}$ soit \mathbf{I} -réduit et que $\mathbf{b}_0 \mathbf{t} = \mathbf{s}' \mathbf{b}_0$ avec $\mathbf{s}' \in \mathbf{I}$.

Donnons le cas particulier du groupe de tresses pur :

Corollaire 3.7. *Le groupe P_W a une présentation où les générateurs sont les $a_{\mathbf{b}, \mathbf{s}}$ où $\mathbf{s} \in \mathbf{S}$ et $\mathbf{b}\mathbf{s} \in B_W^{\text{red}}$ et où les relations sont, avec les notations de la proposition,*

$$a_{\mathbf{b}_0, \mathbf{s}, \mathbf{t}}^{(m-1)} a_{\mathbf{b}_0, \mathbf{s}, \mathbf{t}}^{(m-2)} \dots a_{\mathbf{b}_0, \mathbf{s}, \mathbf{t}}^{(m-i)} = a_{\mathbf{b}_0, \mathbf{t}, \mathbf{s}}^{(i-1)} a_{\mathbf{b}_0, \mathbf{t}, \mathbf{s}}^{(i-2)} \dots a_{\mathbf{b}_0, \mathbf{t}, \mathbf{s}}^{(0)},$$

pour chaque couple (\mathbf{s}, \mathbf{t}) d'éléments de \mathbf{S} tel que $m_{\mathbf{s}, \mathbf{t}}$ est fini, pour chaque $\mathbf{b}_0 \in B_W^{\text{red}}$ réduit- $\{\mathbf{s}, \mathbf{t}\}$ et chaque i variant de 1 à $m-1$, où l'on a posé $m = m_{\mathbf{s}, \mathbf{t}}$.

Démonstration. Il suffit d'appliquer ce qui précède dans le cas où \mathbf{I} est vide. \square

- Corollaire 3.8.** (i) *Le groupe $B_{\mathbf{I}}$ est isomorphe au groupe de tresses $B_{W_{\mathbf{I}}}$.*
 (ii) *Si $U_{\mathbf{I}}$ est le sous-groupe normal de $D_{\mathbf{I}}$ engendré par les éléments $a_{\mathbf{b},\mathbf{s}}$ comme dans 3.6 alors $D_{\mathbf{I}} = U_{\mathbf{I}} \rtimes B_{\mathbf{I}}$.*

Démonstration. On peut définir un homomorphisme $h : D_{\mathbf{I}} \rightarrow B_{W_{\mathbf{I}}}$ qui envoie les éléments de \mathbf{I} sur les générateurs correspondant de $B_{W_{\mathbf{I}}}$ et $a_{\mathbf{b},\mathbf{s}}$ sur 1 car c'est compatible avec les relations dans $D_{\mathbf{I}}$. L'homomorphisme h est évidemment surjectif et son noyau contient $U_{\mathbf{I}}$. D'autre part il existe aussi un homomorphisme $j : B_{W_{\mathbf{I}}} \rightarrow B_{\mathbf{I}}$ qui envoie les générateurs de $B_{W_{\mathbf{I}}}$ sur les éléments de \mathbf{I} . On a $h \circ j = \text{Id}$ et comme j est clairement surjectif on obtient (i). Ceci montre aussi que $B_{\mathbf{I}}$ ne rencontre pas le noyau de h . Comme de plus $B_{\mathbf{I}}$ et $U_{\mathbf{I}}$ engendrent $D_{\mathbf{I}}$ et que $U_{\mathbf{I}}$ est normal et inclus dans le noyau de h on a (ii). \square

Remarque 3.9. Si W est fini l'ensemble des réflexions images des éléments $\mathbf{ws}\tilde{\mathbf{w}}$ où \mathbf{ws} est \mathbf{I} -réduit est exactement l'ensemble des réflexions qui ne sont pas dans $W_{\mathbf{I}}$ c'est-à-dire $\overline{N}(w_{\mathbf{I}}w_{\mathbf{S}})$. En effet si ws est \mathbf{I} -réduit, il existe une écriture réduite de $w_{\mathbf{I}}w_{\mathbf{S}}$ qui commence par ws , donc la réflexion $ws w^{-1}$ est bien dans $\overline{N}(w_{\mathbf{I}}w_{\mathbf{S}})$. Réciproquement toute élément de $\overline{N}(w_{\mathbf{I}}w_{\mathbf{S}})$ s'écrit $ws w^{-1}$ où w est réduit- s et où ws est le début d'une écriture réduite de $w_{\mathbf{I}}w_{\mathbf{S}}$; en particulier ws est \mathbf{I} -réduit. Ce résultat n'est pas vrai pour un groupe de Coxeter quelconque comme le montre l'exemple suivant dans \tilde{A}_2 , où on note $S = \{r, s, t\}$. On prend $I = \{r, s\}$. La réflexion $srtrs$ n'est pas dans $W_{\mathbf{I}}$, mais elle ne s'écrit pas $ws'w^{-1}$ avec pour ws' un élément \mathbf{I} -réduit. En effet dans ce cas on aurait $rs ws' = trsw$ avec des longueurs qui s'ajoutent, ce qui implique que cet élément est divisible par rs et par t . Ceci est impossible car $\overline{N}(w)$ contiendrait alors rsr et t et donc aussi toutes les réflexions du groupe diédral infini engendré par ces deux éléments.

Corollaire 3.10. *Considérons une suite de parties de \mathbf{S} emboîtées $\emptyset = \mathbf{I}_0 \subsetneq \mathbf{I}_1 \subsetneq \mathbf{I}_2 \dots \subsetneq \mathbf{I}_n = \mathbf{S}$ et notons U_j le groupe $U_{\mathbf{I}}$ de 3.8 quand le groupe ambiant est $B_{\mathbf{I}_j}$ et que $\mathbf{I} = \mathbf{I}_{j-1}$; on a $P_W = U_n \rtimes (U_{n-1} \rtimes (\dots \rtimes (U_2 \rtimes U_1) \dots))$.*

Démonstration. Comme $U_n \subset P_W$, le corollaire 3.8 appliqué avec $\mathbf{I} = \mathbf{I}_{n-1}$ implique que $P_W = U_n \rtimes P_{W_{\mathbf{I}_{n-1}}}$. On obtient le résultat par récurrence à partir de cette égalité. \square

4. APPLICATION AUX GROUPES DE TYPE FINI

Nous allons préciser la présentation précédente quand W est fini en utilisant 3.10 pour obtenir une présentation meilleure que dans 3.7 du groupe de tresses pur. Nous étudions d'abord la question de savoir si $U_{\mathbf{I}}$ est engendré par les $a_{\mathbf{b},\mathbf{s}}$ (sans qu'il soit besoin de prendre la clôture normale). Il en est ainsi si dans les relations de type (2) de 3.6 on peut obtenir toutes les conjugaisons des éléments $a_{\mathbf{b},\mathbf{s}}$ par les éléments $\mathbf{s}' \in \mathbf{I}$. Le lemme suivant, valable sans hypothèse de finitude de W , précise quelles conjugaisons on peut obtenir.

Lemme 4.1. *Soit $\mathbf{s}' \in \mathbf{I}$ et soient $\mathbf{b} \in B_W^{\text{red}}$ et $\mathbf{s} \in \mathbf{S}$ tels que \mathbf{bs} soit réduit et \mathbf{I} -réduit; on a une relation du type (2) dans 3.6 faisant intervenir \mathbf{s}' et $a_{\mathbf{b},\mathbf{s}}$ si et seulement si $\mathbf{b}^{-1}\mathbf{s}'\mathbf{b} \in B_{\{\mathbf{s},\mathbf{t}\}}$ pour un certain \mathbf{t} tel que $m_{\mathbf{s},\mathbf{t}}$ soit fini.*

Démonstration. Si on a une relation de type (2), on a vu que \mathbf{b} s'écrit $\mathbf{b}_0 < \mathbf{s}, \mathbf{t}; i >$ où $\mathbf{b}_0\mathbf{s}$ est \mathbf{I} -réduit, $\mathbf{b}_0\mathbf{t} = \mathbf{s}'\mathbf{b}_0$ et $m_{\mathbf{s},\mathbf{t}}$ est fini. Alors $\mathbf{b}^{-1}\mathbf{s}'\mathbf{b} = (< \mathbf{s}, \mathbf{t}; i >)^{-1}\mathbf{t} < \mathbf{s}, \mathbf{t}; i > \in B_{\{\mathbf{s},\mathbf{t}\}}$. Réciproquement si $\mathbf{b}^{-1}\mathbf{s}'\mathbf{b} \in B_{\{\mathbf{s},\mathbf{t}\}}$, écrivons $\mathbf{b} = \mathbf{b}_0 < \mathbf{s}, \mathbf{t}; i >$ avec \mathbf{b}_0

réduit- $\{\mathbf{s}, \mathbf{t}\}$. Alors $\mathbf{b}_0^{-1}\mathbf{s}'\mathbf{b}_0 \in B_{\{\mathbf{s}, \mathbf{t}\}}$, *i.e.*, $\mathbf{s}'\mathbf{b}_0 = \mathbf{b}_0\mathbf{x}$ avec $\mathbf{x} \in B_{\{\mathbf{s}, \mathbf{t}\}}$. Or $\mathbf{s}'\mathbf{b}_0$ est dans B_W^{red} car \mathbf{b} est \mathbf{I} -réduit. On en déduit, par exemple en prenant les images dans W , que \mathbf{x} est dans $B_{\{\mathbf{s}, \mathbf{t}\}}^+$ et est de longueur 1. Comme \mathbf{x} n'est pas égal à \mathbf{s} car $\mathbf{b}\mathbf{s}$ est \mathbf{I} -réduit, donc aussi $\mathbf{b}_0\mathbf{s}$, on a $\mathbf{x} = \mathbf{t}$ c'est-à-dire $\mathbf{s}'\mathbf{b}_0 = \mathbf{b}_0\mathbf{t}$. La conjugaison de l'élément $a_{\mathbf{b}, \mathbf{s}}$ par \mathbf{s}' apparaît donc bien dans les relations (2) de 3.6. \square

Remarquons que dans l'énoncé précédent $\mathbf{b}^{-1}\mathbf{s}'\mathbf{b}$ ne peut valoir ni 1 ni \mathbf{s} , donc qu'il n'y a pas d'ambiguïté sur \mathbf{t} .

Nous allons utiliser le lemme précédent pour obtenir un résultat sur $U_{\mathbf{I}}$ quand W est de type A_n , B_n ou $I_2(m)$. Rappelons que quand W est fini, pour tout \mathbf{I} l'élément $\mathbf{b}^{\mathbf{I}} = \mathbf{w}_{\mathbf{I}}^{-1}\mathbf{w}_{\mathbf{S}} \in B_W^{\text{red}}$ est le plus grand élément \mathbf{I} -réduit de B_W^{red} (au sens que tout élément \mathbf{I} -réduit en est un diviseur à gauche).

Proposition 4.2. *Supposons W fini et soit \mathbf{I} tel que le plus grand élément \mathbf{I} -réduit $\mathbf{b}^{\mathbf{I}}$ de B_W^{red} ait une seule écriture comme produit de générateurs dans B_W^+ . Alors*

- (i) *Il n'y a pas de relation de type 3.6, (1) dans $D_{\mathbf{I}}$.*
- (ii) *le groupe $U_{\mathbf{I}}$ est engendré par les $a_{\mathbf{b}, \mathbf{s}}$.*

Démonstration. Comme tout élément \mathbf{I} -réduit divise $\mathbf{b}^{\mathbf{I}}$ et que celui-ci n'a qu'une écriture dans B_W^+ , on ne peut pas avoir $\mathbf{b}\mathbf{s}$ et $\mathbf{b}\mathbf{t}$ tous deux \mathbf{I} -réduits, donc le cas (1) de 3.6 ne se produit pas, d'où (i).

On note \mathbf{s}_1 le seul élément de \mathbf{S} qui divise $\mathbf{b}^{\mathbf{I}}$ dans B_W^+ . Soit $\mathbf{s}' \in \mathbf{I}$; on a $\mathbf{s}'\mathbf{b}^{\mathbf{I}} = \mathbf{b}^{\mathbf{I}}\mathbf{r}$ pour un certain $\mathbf{r} \in \mathbf{S}$ car $\mathbf{w}_{\mathbf{I}}$ (resp. $\mathbf{w}_{\mathbf{S}}$) conjugue \mathbf{I} (resp. \mathbf{S}) sur lui-même. Donc $\mathbf{s}'\mathbf{b}^{\mathbf{I}}$ est divisible à gauche par \mathbf{s}' et \mathbf{s}_1 , donc par $\mathbf{w}_{\{\mathbf{s}', \mathbf{s}_1\}}$. Donc $\mathbf{b}^{\mathbf{I}} = \mathbf{w}_{\mathbf{s}_1, \mathbf{s}'}^{(m_{\mathbf{s}_1, \mathbf{s}'} - 1)} \mathbf{b}_1$ et, après simplification par $\mathbf{w}_{\mathbf{s}_1, \mathbf{s}'}^{(m_{\mathbf{s}_1, \mathbf{s}'} - 1)}$, l'égalité $\mathbf{s}'\mathbf{b}^{\mathbf{I}} = \mathbf{b}^{\mathbf{I}}\mathbf{r}$ devient $\mathbf{s}'_2\mathbf{b}_1 = \mathbf{b}_1\mathbf{r} \in B_W^{\text{red}}$, où \mathbf{s}'_2 vaut \mathbf{s}' ou \mathbf{s}_1 . Le même argument itéré montre finalement que $\mathbf{b}^{\mathbf{I}}$ est de la forme $\mathbf{b}^{\mathbf{I}} = \prod_{i=1}^{i=k} \mathbf{w}_{\mathbf{s}_i, \mathbf{s}'_i}^{(m_{\mathbf{s}_i, \mathbf{s}'_i} - 1)}$ avec $\mathbf{s}'_1 = \mathbf{s}'$ et où \mathbf{s}'_{i+1} vaut \mathbf{s}'_i ou \mathbf{s}_i , précisément $\mathbf{s}'_i\mathbf{w}_{\{\mathbf{s}_i, \mathbf{s}'_i\}} = \mathbf{w}_{\{\mathbf{s}_i, \mathbf{s}'_i\}}\mathbf{s}'_{i+1}$. L'écriture $\mathbf{b}^{\mathbf{I}} = \prod_{i=1}^{i=k} \mathbf{w}_{\mathbf{s}_i, \mathbf{s}'_i}^{(m_{\mathbf{s}_i, \mathbf{s}'_i} - 1)}$ étant une écriture dans B_W^{red} fournit l'écriture unique de $\mathbf{b}^{\mathbf{I}}$.

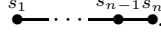
Soient alors $\mathbf{b} \in B_W^{\text{red}}$ et $\mathbf{s} \in \mathbf{S}$ tels que $\mathbf{b}\mathbf{s}$ soit \mathbf{I} -réduit. L'élément $\mathbf{b}\mathbf{s}$ divise $\mathbf{b}^{\mathbf{I}}$ donc est égal à $\left[\prod_{i=1}^{i=h-1} \mathbf{w}_{\mathbf{s}_i, \mathbf{s}'_i}^{(m_{\mathbf{s}_i, \mathbf{s}'_i} - 1)} \right] \mathbf{w}_{\mathbf{s}_h, \mathbf{s}'_h}^{(j)}$, pour un certain h et un certain $j < m_{\mathbf{s}_h, \mathbf{s}'_h}$, avec $\mathbf{s}' = \mathbf{s}'_1$ et \mathbf{s} égal au dernier terme de $\mathbf{w}_{\mathbf{s}_h, \mathbf{s}'_h}^{(j)}$. Ceci montre que $\mathbf{s}'\mathbf{b} = \left[\prod_{i=1}^{i=h-1} \mathbf{w}_{\mathbf{s}_i, \mathbf{s}'_i}^{(m_{\mathbf{s}_i, \mathbf{s}'_i} - 1)} \right] \mathbf{s}'_h \mathbf{w}_{\mathbf{s}_h, \mathbf{s}'_h}^{(j-1)}$, donc $\mathbf{b}^{-1}\mathbf{s}'\mathbf{b} = (\mathbf{w}_{\mathbf{s}_h, \mathbf{s}'_h}^{(j-1)})^{-1} \mathbf{s}'_h \mathbf{w}_{\mathbf{s}_h, \mathbf{s}'_h}^{(j-1)}$ est dans un groupe de la forme $B_{\{\mathbf{s}, \mathbf{t}\}}$ avec $m_{\mathbf{s}, \mathbf{t}}$ fini et on peut appliquer le lemme 4.1; donc par les relations de type (2) dans 3.6 le conjugué de $a_{\mathbf{b}, \mathbf{s}}$ par \mathbf{s}' est un produit d'éléments de la même forme. Le groupe engendré par les $a_{\mathbf{b}, \mathbf{s}}$ est donc normal, donc égal à $U_{\mathbf{I}}$. \square

Les cas où la proposition précédente s'applique sont exactement les cas A_n et B_n avec $\mathbf{I} = \{\mathbf{s}_1, \mathbf{s}_2, \dots, \mathbf{s}_{n-1}\}$ (la double liaison étant entre \mathbf{s}_1 et \mathbf{s}_2 pour B_n) et $I_2(m)$ où \mathbf{I} est l'un des deux générateurs.

Nous donnons maintenant cas par cas, quand W est de type A_n , B_n , D_n ou $I_2(m)$, des présentations de $D_{\mathbf{I}}$ permettant par récurrence d'obtenir une présentation du groupe de tresses pur.

Commençons par rappeler le cas A_n qui est bien connu.

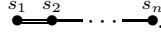
4.1. **Type A_n .** Le diagramme de Coxeter est



On prend $\mathbf{I} = \{s_1, \dots, s_{n-1}\}$. Alors $\mathbf{b}^{\mathbf{I}} = s_n s_{n-1} \dots s_1$. Les $a_{\mathbf{b}, \mathbf{s}}$ sont donc les $a_i = (s_n \dots s_{i+1} s_i)^2$ pour $i = 1, \dots, n$. Les relations dans D_I sont donc les relations de tresses dans \mathbf{I} et

$$\begin{cases} s_j a_i s_j^{-1} = a_i & \text{si } i \neq j, j+1 \\ s_i a_i s_i^{-1} = a_{i+1} \\ s_i a_i a_{i+1} s_i^{-1} = a_i a_{i+1} \end{cases}$$

4.2. **Type B_n .** Le diagramme de Coxeter est



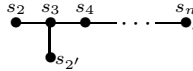
On prend $\mathbf{I} = \{s_1, \dots, s_{n-1}\}$. Alors $\mathbf{b}^{\mathbf{I}} = s_n s_{n-1} \dots s_1 s_2 \dots s_n$. Les $a_{\mathbf{b}, \mathbf{s}}$ sont donc les $a_i = (s_n \dots s_{i+1} s_i)^2$ pour $i = 1, \dots, n$ et les $b_i = (s_n \dots s_1 s_2 \dots s_{i-1} s_i)^2$ pour $i = 2, \dots, n$. Les relations dans D_I sont donc les relations de tresses dans \mathbf{I} et

$$\begin{cases} s_j a_i s_j^{-1} = a_i & \text{si } i \neq j, j+1 \\ s_i a_i s_i^{-1} = a_{i+1} & \text{pour } i \neq 1 \\ s_i a_i a_{i+1} s_i^{-1} = a_i a_{i+1} & \text{pour } i \neq 1 \\ s_j b_i s_j^{-1} = b_i & \text{si } i \neq j, j+1 \text{ et } i \geq 2 \\ s_i b_{i+1} s_i^{-1} = b_i & \text{pour } i \neq 1 \\ s_i b_{i+1} b_i s_i^{-1} = b_{i+1} b_i & \text{pour } i \neq 1 \\ s_1 b_2 s_1^{-1} = a_2 \\ s_1 b_2 a_1 s_1^{-1} = a_1 a_2 \\ s_1 b_2 a_1 a_2 s_1^{-1} = b_2 a_1 a_2 \end{cases}$$

4.3. **Type $I_2(m)$.** On note \mathbf{s} et \mathbf{t} les deux générateurs et on prend $\mathbf{I} = \{\mathbf{s}\}$. On a $\mathbf{b}^{\mathbf{I}} = \langle \mathbf{s}, \mathbf{t}; m-1 \rangle$ et les $a_{\mathbf{b}, \mathbf{s}}$ sont les $a_i = (\langle \mathbf{s}, \mathbf{t}; i-1 \rangle_{\mathbf{r}})^2$ où \mathbf{r} vaut \mathbf{s} ou \mathbf{t} selon la parité de i et $i = 1, \dots, m-1$. La proposition 3.6 donne des relations de type (2) avec $\mathbf{b}_0 = 1$ et $\mathbf{s}' = \mathbf{s}$. On obtient donc comme uniques relations

$$s a_{m-1} a_{m-2} \dots a_{m-i} s^{-1} = a_i \dots a_2 a_1, \text{ pour } i = 1, \dots, m-1.$$

4.4. **Type D_n .** Le diagramme de Coxeter est



On suppose $n \geq 2$. On note les générateurs $s_2, s_{2'}, s_3, \dots, s_n$ et on prend $\mathbf{I} = \mathbf{S} - \{s_n\}$ si $n \geq 3$ et $\mathbf{I} = \emptyset$ si $n = 2$. On a $\mathbf{b}^{\mathbf{I}} = s_n s_{n-1} \dots s_3 s_2 s_{2'} s_3 \dots s_n$. Si $n \geq 3$ cet élément a exactement deux écritures dans B_W^+ , on passe de l'une à l'autre en échangeant s_2 et $s_{2'}$. Les éléments $a_{\mathbf{b}, \mathbf{s}}$ sont donc les $a_i = (s_n \dots s_{i+1} s_i)^2$ pour $i = 2, 2', 3, \dots, n$, avec la convention que $i+1$ vaut 3 si $i = 2'$, les $b_i = (s_n \dots s_3 s_2 s_{2'} s_3 \dots s_{i-1} s_i)^2$ pour $i = 3, \dots, n$, ainsi que les deux éléments $a_{s_n \dots s_3 s_{2'}, s_2}$ et $a_{s_n \dots s_3 s_2, s_{2'}}$, qui sont clairement égaux respectivement à a_2 et $a_{2'}$.

Appliquons la proposition 3.6. Il y a des relations de type (1), les seuls triplets $(\mathbf{b}_0, \mathbf{s}, \mathbf{t})$ possibles étant $(\mathbf{s}_n \dots \mathbf{s}_4 \mathbf{s}_3, \mathbf{s}_2, \mathbf{s}_{2'})$ et $(\mathbf{s}_n \dots \mathbf{s}_4 \mathbf{s}_3, \mathbf{s}_{2'}, \mathbf{s}_2)$, ce qui donne les relations d'égalité remarquées ci-dessus et la relation $a_2 a_{2'} = a_{2'} a_2$.

Les relations de type (2) obtenues sont les suivantes, où i et j parcourent $\{2, 2', 3, \dots, n\}$ et où l'on fait encore la convention que $i + 1$ vaut 3 si $i = 2'$:

$$\begin{cases} \mathbf{s}_j a_i \mathbf{s}_j^{-1} = a_i & \text{si } i \neq j, j + 1 \text{ et } \{i, j\} \neq \{2, 2'\} \\ \mathbf{s}_i a_i \mathbf{s}_i^{-1} = a_{i+1} \\ \mathbf{s}_i a_i a_{i+1} \mathbf{s}_i^{-1} = a_i a_{i+1} \\ \mathbf{s}_j b_i \mathbf{s}_j^{-1} = b_i & \text{si } i \neq j, j + 1 \text{ et } i \geq 3 \\ \mathbf{s}_i b_{i+1} \mathbf{s}_i^{-1} = b_i & \text{pour } i \geq 3 \\ \mathbf{s}_i b_{i+1} b_i \mathbf{s}_i^{-1} = b_{i+1} b_i & \text{pour } i \geq 3 \\ \mathbf{s}_2 b_3 \mathbf{s}_2^{-1} = a_{2'} \\ \mathbf{s}_2 b_3 a_{2'} \mathbf{s}_2^{-1} = b_3 a_{2'} \end{cases}$$

ainsi que les relations obtenues à partir des deux dernières lignes en échangeant a_2 et $a_{2'}$ et en même temps \mathbf{s}_2 et $\mathbf{s}_{2'}$.

Le groupe $D_{\mathbf{I}}$ a donc une présentation où les générateurs sont \mathbf{I} , les a_i et les b_i avec comme relations les relations de tresse dans \mathbf{I} la relation $a_2 a_{2'} = a_{2'} a_2$ et les relations ci-dessus. Les hypothèses de la proposition 4.2 ne sont pas vraies pour le type D_n . Néanmoins la propriété (ii) de la proposition est vraie, d'après les relations ci-dessus : le groupe $U_{\mathbf{I}}$ est engendré par les $a_{\mathbf{b}, \mathbf{s}}$.

Donnons un renseignement de plus sur $U_{\mathbf{I}}$:

Proposition 4.3. *Dans les cas A_n, B_n et $I_2(m)$, avec \mathbf{I} comme ci-dessus, le groupe $U_{\mathbf{I}}$ est le groupe libre engendré par les $a_{\mathbf{b}, \mathbf{s}}$ où \mathbf{b}, \mathbf{s} est \mathbf{I} -réduit.*

Démonstration. Dans le cas A_n c'est un résultat connu et dans le cas $I_2(m)$ c'est immédiat à partir de la présentation donnée ci-dessus. Étudions le cas B_n . La méthode que nous employons peut d'ailleurs être appliquée aussi à A_n . On commence par changer d'ensemble de générateurs en posant $x_i = b_n b_{n-1} \dots b_2 a_1 a_2 \dots a_i$ pour $i = 1, \dots, n$ et $y_i = b_n b_{n-1} \dots b_{i+1}$ pour $i = 1, \dots, n-1$. Le groupe $U_{\mathbf{I}}$ est engendré par les x_i et les y_i et $D_{\mathbf{I}}$ a une présentation avec comme générateurs les x_i (avec $i = 1, \dots, n$), les y_i (avec $i = 1, \dots, n-1$) et les \mathbf{s}_i (avec $i = 1, \dots, n-1$) et comme relations les relations de tresse entre les \mathbf{s}_i et les relations de type (1) qui s'écrivent

$$\begin{cases} \mathbf{s}_j x_i \mathbf{s}_j^{-1} = x_i & \text{si } i \neq j \\ \mathbf{s}_j y_i \mathbf{s}_j^{-1} = y_i & \text{si } i \neq j \\ \mathbf{s}_i x_i \mathbf{s}_i^{-1} = x_{i-1} x_i^{-1} x_{i+1} & \text{pour } i \neq 1 \\ \mathbf{s}_i y_i \mathbf{s}_i^{-1} = y_{i+1} y_i^{-1} y_{i-1} & \text{pour } i \neq 1 \\ \mathbf{s}_1 x_1 \mathbf{s}_1^{-1} = y_2 y_1^{-1} x_2 \\ \mathbf{s}_1 y_1 \mathbf{s}_1^{-1} = y_2 x_1^{-1} x_2 \end{cases}$$

Pour montrer que $U_{\mathbf{I}}$ est le groupe libre engendré par les a_i et les b_i ou, ce qui revient au même, par les x_i et les y_i il suffit de montrer que les formules ci-dessus définissent bien une action de $B_{\mathbf{I}}$ sur un groupe libre. Plus précisément il suffit de montrer que si F est le groupe libre engendré par $\{\xi_1, \dots, \xi_n, \eta_1, \dots, \eta_{n-1}\}$, les formules ci-dessus avec x_i remplacé par ξ_i et y_i remplacé par η_i définissent une

action de $B_{\mathbf{I}}$ sur F . Le groupe $F \rtimes B_{\mathbf{I}}$ aura alors la même présentation que $D_{\mathbf{I}}$ donc lui sera isomorphe, l'isomorphisme envoyant F sur $U_{\mathbf{I}}$.

L'action d'un \mathbf{s}_j fixé donnée par les formules ci-dessus est bien un automorphisme de F . Il suffit donc de voir que ces automorphismes vérifient les relations de tresses. Les relations de commutation entre les actions de \mathbf{s}_j et \mathbf{s}_k quand $|j - k| > 1$ sont claires. Pour voir les autres relations de tresses nous utilisons le lemme suivant qui résulte d'un simple calcul.

Lemme 4.4. *Soient \mathbf{s} et \mathbf{t} deux automorphismes d'un groupe libre G engendré par quatre éléments w, x, y et z . On suppose que*

- (i) \mathbf{s} agit trivialement sur x, w et z et envoie y sur $xy^{-1}z$.
- (ii) \mathbf{t} agit trivialement sur y, w et z et envoie x sur $wx^{-1}y$

Alors $\mathbf{s} \circ \mathbf{t} \circ \mathbf{s} = \mathbf{t} \circ \mathbf{s} \circ \mathbf{t}$.

En appliquant une fois le lemme avec $\mathbf{s} = \mathbf{s}_j$ et $\mathbf{t} = \mathbf{s}_{j+1}$, agissant sur le groupe libre engendré par $w = \eta_{j+2}, x = \eta_{j+1}, y = \eta_j$ et $z = \eta_{j-1}$ avec $j \geq 2$, et une deuxième fois avec les mêmes éléments agissant sur le groupe libre engendré par $w = \xi_{j-1}, x = \xi_j, y = \xi_{j+1}$ et $z = \xi_{j+2}$, on voit que les actions de \mathbf{s}_j et de \mathbf{s}_{j+1} vérifient la relation de tresses. Il reste à voir la relation entre \mathbf{s}_1 et \mathbf{s}_2 . On vérifie que le composé des automorphismes $\mathbf{s}_1 \circ \mathbf{s}_2 \circ \mathbf{s}_1 \circ \mathbf{s}_2$ comme le composé $\mathbf{s}_2 \circ \mathbf{s}_1 \circ \mathbf{s}_2 \circ \mathbf{s}_1$ envoie ξ_1 sur $\eta_3 \eta_1^{-1} \xi_3$ (resp. ξ_2 sur $\eta_3 \eta_2^{-1} \xi_3$, resp. η_1 sur $\eta_3 \xi_1^{-1} \xi_3$, resp. η_2 sur $\eta_3 \xi_2^{-1} \xi_3$). \square

Remarque 4.5. Dans le cas D_n avec \mathbf{I} comme ci-dessus, le groupe $U_{\mathbf{I}}$ n'est évidemment pas libre à cause de la relation $a_2 a_{2'} = a_{2'} a_2$, mais ce n'est pas non plus le groupe engendré par les $a_{\mathbf{b}, \mathbf{s}}$ avec cette seule relation. Par exemple les éléments $a_{2'}^{-1} b_3 a_{2'}$ et a_3 commutent aussi (ce sont les images de $a_{2'}$ et a_2 par la conjugaison par \mathbf{s}_2).

Terminons cette section par une propriété du dévissage 3.10 du groupe de tresses pur dans les cas A_n, B_n et D_n . Si on prend \mathbf{I} comme ci-dessus, le groupe $B_{\mathbf{I}}$ est un groupe de même type, de rang $n - 1$ (sauf si $i = 2$ dans le cas D_n) et on peut définir une suite de parties de \mathbf{S} emboîtées $\mathbf{I}_0 = \emptyset \subset \mathbf{I}_1 \dots \subset \mathbf{I}_{n-1} \subset \mathbf{I}_n = \mathbf{S}$ où $|\mathbf{I}_i| = i$ sauf si $i = 1$ pour le type D_n auquel cas $\mathbf{I}_1 = \mathbf{I}_0 = \emptyset$. Notons comme dans 3.10 U_j le groupe $U_{\mathbf{I}}$ quand le groupe ambiant est $B_{\mathbf{I}_j}$ et $\mathbf{I} = \mathbf{I}_{j-1}$.

Proposition 4.6. *Avec les notations ci-dessus, pour $i \geq 2$, la conjugaison par \mathbf{s}_i est un isomorphisme de U_{i-1} sur un sous-groupe de U_i en tant que groupes munis d'une action de $B_{\mathbf{I}_{i-2}}$.*

Démonstration. D'après les formules donnant les générateurs de U_{i-1} , la conjugaison envoie bien U_{i-1} dans U_i . Comme \mathbf{s}_i centralise $B_{\mathbf{I}_{i-2}}$, on obtient le résultat. \square

5. PLONGEMENT DU GROUPE DE TYPE B_n DANS LE GROUPE DE TYPE A_n

Dans cette section nous montrons que les actions des groupes de tresses de type A ou B sur un groupe libre définie précédemment sont fidèles et nous en déduisons un plongement du groupe de type B_n dans le groupe de type A_n .

Proposition 5.1. *Les actions des groupes de tresses de type A ou B sur des groupes libres définies plus haut sont fidèles.*

Démonstration. Ce résultat est connu pour le type A . Nous le démontrons pour le type B . La démonstration pour le type A est analogue. Remarquons d'abord que l'action du groupe de tresses de type B_{n-1} sur le groupe libre à $2n - 1$ générateurs

que nous avons définie induit sur l'abélianisé du groupe libre l'action de permutation du groupe de Coxeter de type B_{n-1} vu comme groupe de permutations de $2n-2$ éléments qui sont ici les images dans l'abélianisé de a_2, \dots, a_n et de b_2, \dots, b_n . Un élément du groupe de tresses qui agit trivialement sur le groupe libre est donc dans le groupe de tresses pur P_{n-1} de type B_{n-1} . Nous avons décomposé le groupe de tresses pur P_n en produit semi-direct $U_n \rtimes P_{n-1}$, où U_n est le groupe libre engendré par a_1, \dots, a_n et b_2, \dots, b_n . Chercher le noyau de l'action revient donc à chercher les éléments de P_{n-1} qui commutent à U_n dans P_n .

Considérons un élément $\mathbf{b} \neq 1$ de P_{n-1} qui agit trivialement sur U_n et soit i le plus petit indice tel que \mathbf{b} soit dans P_i . D'après 4.6 en utilisant la conjugaison par $\mathbf{s}_n \mathbf{s}_{n-1} \dots \mathbf{s}_{i+2}$, on voit que \mathbf{b} commute à U_{i+1} , autrement dit on est ramené à $i = n-1$.

L'élément \mathbf{b} s'écrit de façon unique $\mathbf{b}_{n-1} \mathbf{b}_{n-2} \dots \mathbf{b}_0$ avec $\mathbf{b}_j \in U_j$ pour tout j et $\mathbf{b}_{n-1} \neq 1$. Comme \mathbf{b} commute à U_n , il commute en particulier à a_n . Comme tout élément de $B_{\mathbf{I}_j}$ commute à $a_n = s_n^2$ pour $j = 1, \dots, n-2$ on voit que \mathbf{b} commute à a_n si et seulement si \mathbf{b}_{n-1} commute à a_n . Conjuguons par \mathbf{s}_n , on obtient un élément $\mathbf{s}_n \mathbf{b}_{n-1} \in U_n$ qui commute à a_n . Or U_n est un groupe libre dont a_n est un des générateurs. Donc $\mathbf{s}_n \mathbf{b}_{n-1}$ est une puissance de $a_n = s_n^2$. Ceci implique que \mathbf{b}_{n-1} est une puissance de a_n , ce qui est impossible puisque $\mathbf{b}_{n-1} \notin U_n$. \square

Considérons un groupe de tresses de type A_n de générateurs $\mathbf{s}_1, \dots, \mathbf{s}_n$ et un groupe de tresses de type B_n de générateurs $\mathbf{s}'_1, \dots, \mathbf{s}'_n$. On a $\mathbf{s}'_1 \mathbf{s}'_2 \mathbf{s}'_1 \mathbf{s}'_2 = \mathbf{s}_2 \mathbf{s}'_1 \mathbf{s}_2 \mathbf{s}'_1$, donc il existe un homomorphisme φ du groupe de tresses de type B_n dans le groupe de tresses de type A_n qui envoie \mathbf{s}'_1 sur \mathbf{s}_1^2 et \mathbf{s}'_i sur \mathbf{s}_i pour $i \geq 2$. Notre but est de démontrer le résultat suivant.

Théorème 5.2. *L'homomorphisme φ est injectif.*

Le théorème résulte de la proposition suivante.

Proposition 5.3. *Considérons un groupe libre F à $n+1$ générateurs a_1, \dots, a_{n+1} , muni de l'action du groupe de tresses de type A_n définie plus haut et un groupe libre F' à $2n+1$ générateurs $a'_1, \dots, a'_{n+1}, b_2 \dots b_{n+1}$ muni de l'action du groupe de tresses de type B_n ; alors*

(i) *L'homomorphisme ψ de F' dans F défini par*

$$\begin{cases} \psi(a'_1) = a_1^2, \\ \psi(a'_i) = a_i, & \text{pour } i=2 \dots n+1 \\ \psi(b_i) = a_1 a_2 \dots a_i a_{i-1}^{-1} \dots a_2^{-1} a_1^{-1} & \text{pour } i = 2 \dots n+1 \end{cases}$$

est injectif.

(ii) *L'image $\psi(F')$ est un sous-groupe normal d'indice 2 de F .*

(iii) *L'action du groupe de tresses de type B_n sur F à travers φ stabilise $\psi(F')$ et ψ est un morphisme de groupes munis de l'action du groupe de tresses de type B_n .*

Le théorème se déduit immédiatement de la proposition car par (iii) et (i) un élément de $\ker \varphi$ agit trivialement sur F' et l'action sur F' est fidèle par 5.1.

Démonstration de 5.3. Le (iii) résulte du calcul. Pour prouver (i) et (ii) nous changeons de générateurs dans F . On pose $x_i = a_1 \dots a_i$. Le groupe F est aussi le groupe

libre engendré par x_1, \dots, x_{n+1} . On a

$$\begin{cases} \psi(a'_1) = x_1^2, \\ \psi(a'_i) = x_{i-1}^{-1}x_i, & \text{pour } i = 2 \dots n+1 \\ \psi(b_i) = x_i x_{i-1}^{-1} & \text{pour } i = 2 \dots n+1. \end{cases}$$

Donc $\psi(F')$ contient tous les produits $x_i x_j, x_i^{-1} x_j$ et $x_i x_j^{-1}$ avec $i, j \in \{1, \dots, n+1\}$. C'est donc le sous-groupe de F formé des éléments de longueur paire en les x_i et leurs inverses. Ce sous-groupe est d'indice 2 dans F . Pour montrer (i) nous appliquons la méthode de Reidemeister-Schreier pour obtenir une présentation de $\psi(F')$. Un ensemble de représentants des classes est formé de $\{1, x_1\}$. On obtient le système de générateurs fourni par la méthode en multipliant x_i et $x_1 x_i$ par les inverses de leurs représentants respectifs qui sont x_1 et 1. On obtient donc $x_i x_1^{-1}$ pour $i = 2, \dots, n+1$ et $x_1 x_i$ pour $i = 1, \dots, n+1$. La méthode dit qu'il n'y a aucune relation entre ces générateurs. Donc $\psi(F')$ est le groupe libre engendré par ces éléments, donc aussi le groupe libre engendré par x_1^2 , les $x_{i-1}^{-1} x_i$ et les $x_i x_{i-1}^{-1}$ pour $i = 2 \dots n+1$, car le passage d'un système de générateurs à l'autre est inversible.

Comme $\psi(F')$ est libre engendré par les images (distinctes) des générateurs de F' l'homomorphisme ψ est injectif. \square

Remarque 5.4. On peut aussi démontrer ce résultat topologiquement en interprétant le groupe de tresses de type B_n comme une partie des tresses classiques à $n+1$ brins. Nous avons voulu en donner une preuve purement combinatoire.

6. UNE EXTENSION DU GROUPE DE COXETER

Considérons le groupe quotient $B_W/D(P_W)$. D'après 2.6 on a une suite exacte

$$1 \rightarrow P_W/D(P_W) \simeq (2\mathbb{Z})^T \rightarrow B_W/D(P_W) \rightarrow W \rightarrow 1.$$

Le groupe W agit naturellement sur $(2\mathbb{Z})^T$ et se relève canoniquement en B_W^{red} dans B_W donc aussi dans $B_W/D(P_W)$. L'extension donnée par la suite exacte ci-dessus est donc associée à un cocycle que nous allons calculer. On sait que l'isomorphisme $P_W/D(P_W) \simeq (2\mathbb{Z})^T$ est compatible à l'action de B_W sur $(2\mathbb{Z})^T$ (via W). Soient \mathbf{v} et \mathbf{w} les relèvements dans B_W^{red} de deux éléments v et w de W ; nous les considérons comme des éléments de $B_W/D(P_W)$; si a et b sont dans $(2\mathbb{Z})^T \subset B_W/D(P_W)$, dans $B_W/D(P_W)$ on a $avbw = a^v b \mathbf{v} \mathbf{w} = a^v b (\mathbf{v} \mathbf{w} \underline{vw}^{-1}) \underline{vw}$ où \underline{vw} est le relevé dans B_W^{red} de vw . L'élément $(\mathbf{v} \mathbf{w} \underline{vw}^{-1})$ est dans $P_W/D(P_W)$ et, vu comme élément de $(2\mathbb{Z})^T$, est égal à $N(\mathbf{v} \mathbf{w} \underline{vw}^{-1})$. De plus on a $N(\mathbf{v} \mathbf{w} \underline{vw}^{-1}) = N(\mathbf{v} \mathbf{w}) - N(\underline{vw})$. Donc le cocycle qui définit l'extension est $(v, w) \mapsto N(\mathbf{v} \mathbf{w}) - N(\underline{vw}) = N(\mathbf{v}) + {}^v N(\mathbf{w}) - N(\underline{vw})$.

Proposition 6.1. *L'extension $B_W/D(P_W)$ de W par $(2\mathbb{Z})^T$ n'est pas un produit semi-direct.*

Démonstration. Il faut montrer que le cocycle n'est pas équivalent au cocycle trivial. Ceci équivaut à montrer qu'il n'existe pas d'application $\alpha : W \rightarrow (2\mathbb{Z})^T$ telle que $N(\mathbf{v}) + {}^v N(\mathbf{w}) - N(\underline{vw}) = \alpha(v) + {}^v \alpha(w) - \alpha(vw)$. Si α existe, posons $f(w) = N(\mathbf{w}) - \alpha(w)$. On a $f(vw) = f(v) + {}^v f(w)$ pour tous v et w dans W . Ceci implique $f(1) = 0$ et ${}^v f(v) = -f(v)$ pour tout v d'ordre 2. En particulier pour $v = s \in S$. Donc le coefficient de $f(s)$ sur s est nul, ce qui implique que le coefficient de $\alpha(s)$ sur s est égal à celui de $N(s)$, c'est-à-dire 1. Ceci est contradictoire avec le fait que tous les coefficients de α sont pairs. \square

RÉFÉRENCES

- [Bi] J. S. Birman, Braids links and mapping class groups, *Annals of Mathematics Studies* **82** (1975).
- [BrMaRo] M. Broué, G. Malle and R. Rouquier, Complex reflection groups, braid groups, Hecke algebras *J. Reine Angew. Math.* **500** (1998) 127–190.
- [Dy] M.J. Dyer, Hecke algebras and reflections in Coxeter groups, *thesis, University of Sydney* (1987).
- [H] V.L. Hansen, Braids and coverings, selected topics, *London Math. Society Student Texts* **88**, Cambridge University Press (1989).
- [J] D.L. Johnson, Presentation of Groups, *London Math. Society Student Texts* **15**, Cambridge University Press (1990).
- [Pa] P. Papi, A characterization of a special ordering in a root system *Proc. Amer. Math. Soc* **120** (1994) 661–665.

LAMFA, UNIVERSITÉ DE PICARDIE, 33 RUE SAINT-LEU, 80039 AMIENS FRANCE